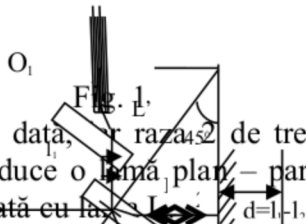


## Determinarea indicelui de refracție al aerului cu ajutorul interferometrului lui Michelson

### **Teorie**

În fig.1 se prezintă schema de funcționare a interferometrului lui Michelson . El constă din lama plan – paralelă L, semiargintată pe o față și oglinzile  $O_1$  și  $O_2$  depărtate față de L la distanțele  $l_1$  și  $l_2$ . La intrarea în lama L are loc divizarea amplitudinii undei incidente prin reflexie – refracție.



Raza 1 parcurge lama L o singură dată, și raza 2 de trei ori. Pentru a înlătura acest neajuns, în drumul razei 1 se introduce o lama plan – paralelă suplimentară  $L'$ , având aceeași grosime și fiind paralelă cu lama L, având distanța  $d = l_1 - l_2$ .

Dacă oglinzile  $O_1$  și  $O_2$  fac fiecare un unghi diédru de  $45^\circ$  cu lama L, razele 1 și 2 sunt paralele între ele și interferează în focul obiectivului lunetei de observație. Franjele de interferență sunt în acest caz de egală închinare, având forma de cercuri concentrice. Observatorul vede însă arce din aceste cercuri. Totul se întâmplă ca și cum ar avea loc interferență în lama plan – paralelă de aer cuprinsă între  $O_2$  și imaginea  $O_1$  a lui  $O_1$ . Aplicând relația

$$\delta = 2d \cos \hat{r} - \frac{\lambda}{2} \quad (1)$$

cazului de față ( $n=1$ ), găsim că diferența de drum optic între raza 1 și 2 este:

$$\delta = 2d \cos \hat{i} - \frac{\lambda}{2} \quad (2)$$

unde  $\hat{i}$  este unghiul de incidență al razelor pe oglinzi iar  $d=l_1-l_2$ . Termenul suplimentar  $\lambda/2$  apare datorită faptului că raza 1 suferă o reflexie pe lama L.

Relația (2) arată ca dacă  $d=0$ , ( $l_1=l_2$ ),  $\delta=\lambda/2$ , adică se observă un câmp uniform întunecat, indiferent de valoarea lui  $\hat{i}$ . Creșterea lui  $d$  provoacă de deplasarea uneia dintre oglizi atrage creșterea lui  $\delta$  și deci apariția franjelor. Pentru a avea același  $\delta$ , când  $d$  crește, trebuie ca  $\hat{i}$  să crească. Cu alte cuvinte, tabloul de franje se deplasează dinspre centru spre exterior, din centrul figurii ieșind treptat noi franje pe măsură ce  $\delta$  crește cu câte un  $\lambda$ .

Să introducem în drumul razei 2 un tub de sticlă închis la cele două capete cu câte o lama plan paralelă . Pentru compensarea efectelor acestor lame introducem și în brațul 1 al interferometrului două lamele de microscop, identice cu cele folosite la închiderea tubului. Astfel tabloul de interferență nu se modifică. Atâtănd tubului umplut cu aer o seringă medicală se poate modifica volumul și astfel presiunea, respectiv densitatea aerului închis în tub, ceea ce atrage după sine modificarea indicelui de refracție. Ca rezultat vom observa apariția noilor inele în centrul figurii de interferență. Acest lucru se explică în modul următor:

În condiții inițiale, în apropierea centrului figurii de interferență cosinusul unghiului de incidență se poate approxima cu 1 și putem scrie pentru diferența drumurilor optice ale razelor din cele două brațe ale interferometrului expresia

$$\delta = 2n_0(l_1 - l_2) - \frac{\lambda}{2} \quad (3)$$

( $n_0$  fiind indice de refracție al aerului la temperatura și presiunea camerei) căreia îi corespunde în centrul figurii de interferență un maxim de ordinul  $k_0$ , determinat de relația:

$$\delta = k_0 \lambda \quad (4)$$

În urma modificării presiunii aerului din tub se modifică și diferența de drum, care va avea expresia:

$$\delta' = 2n_0 l_1 - [2n_0(l_2 - L) + 2n_1 L] - \frac{\lambda}{2} = \delta + 2L(n_0 - n_1) = \delta + 2L\Delta n \quad (5)$$

Deci diferența de drum optic suplimentar ce apare în urma modificării presiunii gazului este

$$\delta' - \delta = 2L\Delta n \quad (6)$$

căreia i se datorează apariția (dispariția) în cazul destinderii (comprimării) aerului din tub a  $k$  inele în centrul figurii de interferență. Având în vedere că apariției (dispariției) unui inel îi corespunde o diferență de drum optic suplimentar  $\lambda$ , putem scrie:

$$2L\Delta n = k\lambda \quad (7)$$

de unde

$$\Delta n = \frac{k\lambda}{2L} \quad (8)$$

Conform relației Lorentz–Lorenz din teoria clasică a dispersiei luminii, indice de refracție satisfac relația

$$\frac{n^2 - 1}{n^2 + 2} \cdot \frac{1}{\rho} = r \quad (9)$$

unde  $\rho$  este densitatea substanței și  $r$  refracția specifică, care are o valoare constantă, independentă de starea de agregare a substanței. Relația de mai sus se poate scrie și sub forma:

$$\frac{n^2 - 1}{n^2 + 2} = r\rho \quad (10)$$

Având în vedere că indicele de refracție a aerului se modifică foarte puțin cu modificarea presiunii, respectiv densității, partea stângă a ecuației de mai sus, notată cu

$$f(n) = \frac{n^2 - 1}{n^2 + 2} \quad (11)$$

se poate dezvolta în serie în jurul valorii  $n_0$ , unde cu  $n_0$  am notat valoarea inițială a indicelui de refracție. Astfel obținem:

$$f(n_0 + \Delta n) = f(n_0) + \left( \frac{df}{dn} \right)_{n=n_0} \Delta n \quad (12)$$

Înlocuind acest rezultat în relația (10), obținem:

$$\frac{n_0^2 - 1}{n_0^2 + 2} + \frac{6n_0}{(n_0^2 + 2)^2} \cdot \Delta n = r\rho_0 + r\Delta\rho \quad (13)$$

Tinând cont că se poate scrie, conform relației (10), că

$$\frac{n_0^2 - 1}{n_0^2 + 2} \cdot \frac{1}{\rho_0} = r$$

obținem:

$$\frac{6n_0}{(n_0^2 + 2)^2} \cdot \Delta n = \frac{n_0^2 - 1}{n_0^2 + 2} \cdot \frac{\Delta \rho}{\rho_0} \quad (14)$$

Dacă folosim acum că pentru aer

$$\rho = \frac{p\mu}{RT} \quad (15)$$

unde  $R$  este constanta generală a gazelor și  $T$  temperatura absolută, relația (14) se poate scrie sub forma:

$$\Delta n = \frac{(n_0^2 - 1) \cdot (n_0^2 + 2)}{6n_0} \cdot \frac{\Delta p}{p_0}, \quad (16)$$

care indică o dependență liniară între  $\Delta n$  și  $\Delta p/p_0$ . Cu ajutorul relației (8) se determină experimental  $\Delta n$ , ținând cont că lungimea tubului este de 8 cm și lungimea de undă a luminii laserului He-Ne este de 632,8 nm și din relația transformării izoterme

$$pV = p_0 V_0 \quad (17)$$

valoarea raportului  $\Delta p/p_0$ . Se reprezintă grafic

$$\Delta n = f(\Delta p/p_0) \quad (18)$$

de unde se determină panta dreptei

$$A = \frac{(n_0^2 - 1) \cdot (n_0^2 + 2)}{6n_0} \quad (19)$$

care permite calcularea indicelui de refracție a aerului în condițiile inițiale.

### **Mersul lucrării:**

Cu mișcări foarte fine ale șuruburilor de reglaj ale oglinzii dinspre observator a interferometrului se regleză figura de interferență până se obțin franje centrale aproximativ circulare în centrul figurii. Franjele de interferență se deplasează pe orizontală cu șurubul superior, iar cu cel inferior pe verticală. Se trage încet pistonul seringii medicale și se numără câte franje noi apar în centrul figurii de interfrență, simultan se citește și poziția pistonului, determinându-se astfel volumul gazului prin adăugarea la volumul initial de 22,6 cm<sup>3</sup> numărul de cm<sup>3</sup> indicați de poziția pistonului. Se reprezintă grafic  $\Delta n$  în funcție de  $\Delta p/p_0$  și se determină panta  $A$  a dreptei.

**Observație:** Sepoate procedă și invers. Se mărește inițial volumul gazului prin tragerea înspre afară a pistonului și se micșorează treptat volumul urmărind câte franje dispar în centrul figurii de interferență.

**Atenție:** În timpul lucrului să nu se tragă acul seringii medicale din dopul care astupă deschiderea tubului care conține aerul.

### **Prelucrarea datelor experimentale**

Având în vedere că indice de refracție al aerului depinde numai la patra zecimală de unitatea, la prelucrarea datelor experimentale vom considera

$$n_0 = 1 + y$$

unde  $y \ll 1$ , fiind de ordinul  $10^{-4}$ . Înținând cont că și  $A$  este de același ordin, în relația (19) se pot neglija termenii începând cu  $y^2$  și produsul  $yA$ , obținând rezultatul extrem de simplu:

$$y = A$$

și deci

$$n_0 = 1 + A$$